

DS n° 6

Nasa's Mars Exploration Program :

1. On sait que $F = -\frac{GMm}{r^2}$ donc $[G] = \frac{\text{Force}}{M^2} \cdot L^2 = \frac{\text{ML}^3 \cdot T^{-2}}{M^2}$

D'où $[G] = M^{-1} \cdot L^3 \cdot T^{-2}$ en $\text{kg} \cdot \text{m}^3 \cdot \text{s}^{-2}$

2. Syst : masse m Ref : héliocentrique Force : $\vec{F} = -\frac{GM_m}{r^2} \hat{e}_r$

(\vec{F} est exprimée en coordonnées sphériques pour l'instant).

TMC en O fixe. $\frac{d\vec{L}_0}{dt} = \vec{r}_0(\vec{F}) = \vec{0} \Rightarrow \vec{L}_0 = \vec{cte}$.

\vec{L}_0 est une intégrale première du mt.

3. $\vec{L}_0 = m\vec{O}\vec{M} \wedge \vec{v} \perp \vec{O}\vec{r}$. à tout instant. Or $\vec{L}_0 = \vec{cte}$ donc la trajectoire est contenue dans le plan \perp à \vec{L}_0 passant par O \Rightarrow la trajectoire est plane.

Utilisons donc le système cylindrique avec $\vec{e}_z \parallel \vec{L}_0$:

$$\vec{L}_0 = m \left| \vec{0} \wedge \vec{r} \right| = mr^2 \dot{\theta} \vec{e}_z = \vec{cte} \text{ donc } L_0 = mr^2 \dot{\theta} = cte$$

On a lien $C = \text{constante des aires} = \frac{L_0}{m} = cte$.

4. PFD pour l'orbite circulaire (rayon a) ($\frac{d\vec{v}}{dt} = -\frac{GM_s}{a^2} \vec{e}_r + a\ddot{\theta} \vec{e}_\theta$):

$m\ddot{\vec{a}} = \vec{F}$, selon \vec{e}_θ : $a\ddot{\theta} = 0 \rightarrow \dot{\theta} = cte$

- selon \vec{e}_r : $-m\ddot{a} = -\frac{GM_s m}{a^2} \rightarrow V = R\dot{\theta} = \sqrt{\frac{GM_s}{a}}$

A.N: $V_T = 29,8 \text{ km s}^{-1}$ et $V_M = 24,2 \text{ km s}^{-1}$

5. Par définition: $\vec{F} = -\nabla \vec{E}_P$ donc $-\frac{GMm}{r^2} = -\frac{d\vec{E}_P}{dr}$
 $\Rightarrow \vec{E}_P = -\frac{GMm}{r^2} + cte$. Origine à l'infini. $\boxed{E_P = -\frac{GMm}{r^2}}$.

Pour la trajectoire circulaire de rayon a :

$$\mathcal{E}_p = -\frac{GMsm}{a}; \quad \mathcal{E}_c = \frac{1}{2}mv^2 = \frac{1}{2}m\frac{GMs}{a} = -\frac{\mathcal{E}_p}{2}$$

$$\boxed{\mathcal{E}_m = \mathcal{E}_p + \mathcal{E}_c = -\frac{1}{2}\frac{GMsm}{a} = \mathcal{E}_{ph} = -\mathcal{E}_c}$$

$$6. \quad T = \frac{2\pi a}{v} = \frac{2\pi R \sqrt{a}}{\sqrt{GM_s}} \Rightarrow$$

$$T = \frac{2\pi}{\sqrt{GM_s}} \cdot a^{3/2}$$

$$\begin{aligned} T_T &= 3,16 \cdot 10^6 \text{ s} \\ &= 365,6 \text{ j} \\ T_M &= 59,2 \cdot 10^6 \text{ s} \\ &= 685 \text{ j} \end{aligned}$$

C'est la troisième loi de Kepler:

$$\boxed{\frac{T^2}{a^3} = \frac{4\pi^2}{GM_s}}$$

7. Pour la trajectoire elliptique:

$$\text{Démonstration: } \mathcal{E}_m = \frac{1}{2}m(r^2 + (r\dot{\theta})^2) - \frac{GMsm}{r}$$

$$\text{En A et P (aphélie et périhélie): } \dot{\theta} = 0 \text{ donc } \mathcal{E}_m = \frac{1}{2}m r^2 \dot{\theta}^2 - \frac{GMsm}{r}$$

$$\text{Or } C = r^2 \dot{\theta} = \text{cte} \text{ donc } \mathcal{E}_m = \frac{mc^2}{2r^2} - \frac{GMsm}{r} \text{ en A et P.}$$

r_A et r_P sont donc les 2 racines de l'éq. du 2nd degré:

$$r^2 \mathcal{E}_m + GMsmr - \frac{mc^2}{2} = 0$$

$$\text{La somme des racines vaut "}-\frac{b}{a}" : r_A + r_P = -\frac{GMsm}{\mathcal{E}_m}$$

$$\text{Or } r_A + r_P = 2a \text{ donc}$$

$$\boxed{\mathcal{E}_m = -\frac{GMsm}{2a}}$$

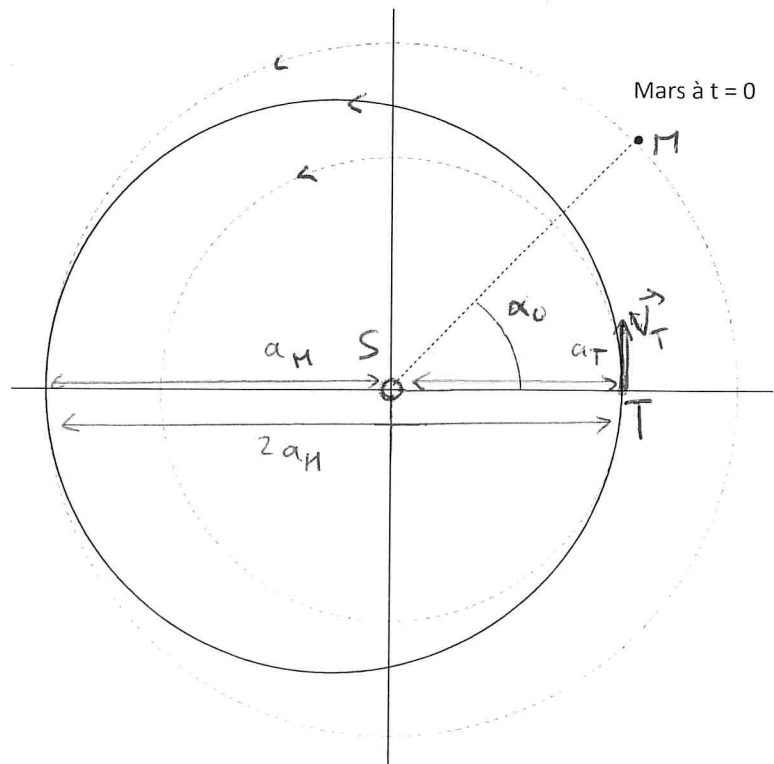
7. Attention les trajectoires ne se coupent pas !

Le soleil est le foyer de l'ellipse de Hohmann.

$$2a = a_T + a_M$$

$$8. \quad \boxed{T_H^2 = \frac{4\pi^2}{GM_s} \cdot \left(\frac{a_T + a_M}{2}\right)^3}$$

$$(T_H = 517 \text{ j})$$



10. Sur la trajectoire elliptique: $r_A = a_M$ et $r_T = a_T$

(la Terre est au périhélie et Mars à l'aphélie)

Dans $2a = a_M + a_T$. Dans

$$\mathcal{E}_m = -\frac{GMsm}{a_M + a_T}.$$

Au départ: $\mathcal{E}_m = \frac{1}{2} m v_T'^2 - \frac{GMsm}{a_T}$

d. Q4.

Dans $\frac{1}{2} m v_T'^2 - \frac{GMsm}{a_T} = -\frac{GMsm}{a_M + a_T}$ avec $GMr_s = a_T V_T^2$

$$\text{Finallement: } \boxed{v_T'^2 = 2V_T^2 \left(1 - \frac{a_T}{a_M + a_T}\right)} \quad \boxed{V_T' = 32,7 \text{ km.s}^{-1}}$$

R: si $a_M = a_T$ on retrouve $v_T'^2 = V_T^2$

$$\Delta V_T = V_T' - V_T = V_T \left(\sqrt{2 \left(1 - \frac{a_T}{a_M + a_T}\right)} - 1 \right) = \boxed{2,9 \text{ km.s}^{-1} = \Delta V_T}$$

11. Le trajet est une demi-ellipse avec $T^2 = \frac{4\pi^2 \cdot a^3}{GM_s}$

$$\text{D'où } \boxed{\Delta t = \frac{T}{2} = \frac{\pi}{\sqrt{GM_s}} \cdot \left(\frac{a_M + a_T}{2}\right)^{\frac{3}{2}} = 22,3 \cdot 10^6 \text{ s} = 258,5 \text{ j}}$$

12. Il faut $\Omega_M(\Delta t) = \pi$.

$$\text{Or } \Omega_M = \Omega_M(0) + \omega_M \cdot t \text{ avec } \omega_M = \frac{2\pi}{T_M}.$$

$$\text{D'où } \Omega_M(0) = \boxed{\alpha_0 = \pi - \omega_M \cdot \Delta t = 0,77 \text{ rad} = 44^\circ}.$$

Voir figure précédente.

13. On a: $\Omega_T = \omega_T \cdot t$ et $\Omega_M = \alpha_0 + \omega_M \cdot t$.

$$\text{Dans } \Omega_M - \Omega_T = \alpha_0 + (\omega_M - \omega_T) t.$$

On cherche les instants où: $\Omega_M - \Omega_T = \alpha_0 [2\pi]$

$$\text{Soit } (\omega_M - \omega_T) t = 2k\pi$$

$\Delta \omega_M < \omega_T$ (car $T_M > T_T$) donc on obtient des

$$\text{instants } t \text{ positifs pour } k < 0: \text{ si } k = -1: t = T_{\text{lanc}} = \frac{2\pi}{\omega_T - \omega_M} = \frac{T_T \cdot T_M}{T_M - T_T} = 784 \text{ j}$$

14. Le retour à la même durée : $\Delta t = 258,5$ j.

Il faut que la Terre et le vaisseau se retrouvent après une durée Δt . Le vaisseau aura parcouru un arc d'angle π ($\frac{1}{2}$ ellipse) et la Terre aura parcouru un arc d'angle $\omega_T \times \Delta t = \frac{2\pi}{T_T} \times \Delta t = 4,44 \text{ rad} = 255^\circ$.

Il faut donc $\boxed{\alpha_1 = 255^\circ - 180^\circ = 75^\circ \quad (1,30 \text{ rad})}$

15. Pour Mars :

$$\Omega_M(t) = \alpha_0 + \omega_M \cdot t$$

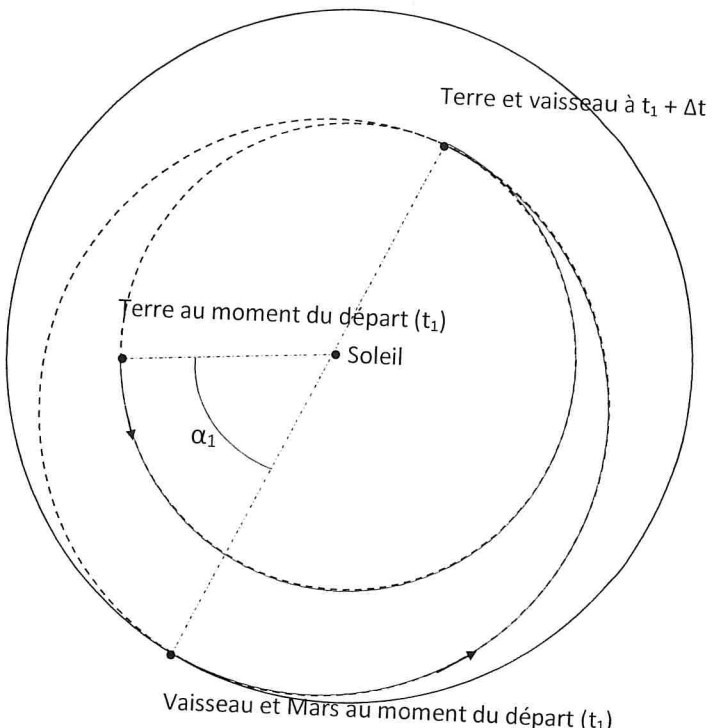
Pour la Terre :

$$\Omega_T(t) = \omega_T \cdot t$$

Au moment du départ (t_1) de Mars pour le retour :

$$\Omega_M(t_1) - \Omega_T(t_1) = \alpha_1 [2\pi]$$

$$\Rightarrow \alpha_1 + 2k\pi = \alpha_0 + (\omega_M - \omega_T)t_1$$



On en déduit :

$$\boxed{t_1 = \frac{\alpha_1 - \alpha_0 + 2k\pi}{\omega_M - \omega_T}}$$

Pour $k=0$, on obtient : $t_1 = \frac{(\alpha_1 - \alpha_0)}{2\pi \left(\frac{1}{T_M} - \frac{1}{T_T} \right)} = -66$ jours : impossible

Pour $k=1$, on obtient : $t_1 = -845$ j : impossible

Il faut donc $k < 0$: $k=-1 \Rightarrow \boxed{t_1 = 717 \text{ jours}}$
 $k=-2 \Rightarrow t_1 = 1501 \text{ jours.}$

normal car
la Terre
tourne
+ vite qu'
Mars!

La durée totale de la mission : $\boxed{\Delta t_{tot} = t_1 + \Delta t = 976 \text{ jours}}$

La durée autour de Mars : $\boxed{\Delta t_{Mars} = t_1 - \Delta t = 459 \text{ jours}}$

La durée minimale de la mission est de près de 3 ans!
(les astronautes ont intérêt à bien s'entendre!)

16. Cf figure ci-dessus.

17. $\Delta \vec{v}_T'$ est colinéaire à $\Delta \vec{v}_T$ donc à \vec{v}_T donc orthogonal.
Le point de départ est donc soit l'aphélie soit le périhélie de la trajectoire.

Comme l'ellipse a un demi-grand axe supérieur à a_T , le point de départ est le périhélie : $r_p = a_T$

18. Avec $r = \frac{P}{1+e \cos \theta}$ on a en $\theta=0$: $r_p = a_T = \frac{P}{1+e}$

$$\text{et en } \theta = \frac{3\pi}{4} : r(\theta = \frac{3\pi}{4}) = \boxed{a_M = \frac{P}{1-e/\sqrt{2}}}.$$

On élimine P entre les 2 expressions: $\frac{a_T}{a_M} = \frac{1-e/\sqrt{2}}{1+e}$

$$\text{On sort } e: \boxed{e = \frac{1 - \frac{a_T}{a_M}}{\frac{1}{\sqrt{2}} + \frac{a_T}{a_M}} = \frac{a_M - a_T}{a_T + a_M/\sqrt{2}} = 0,25}.$$

$$\boxed{r_A = r(\theta=\pi) = \frac{P}{1-e} = a_T \times \frac{1+e}{1-e} = 1,67 a_T = 250 \cdot 10^6 \text{ km}}$$

$$19. a = \frac{1}{2}(r_A + r_p) = \frac{1}{2}\left(\frac{P}{1-e} + a_T\right) = \frac{a_T}{2}\left(\frac{1+e}{1-e} + 1\right) = \boxed{\frac{a_T}{1-e} = a}$$

$$20. E_m = -\frac{g M_S m}{2a} = -\frac{g M_S m}{2a_T} (1-e) \quad \boxed{= 1,33 a_T = 200 \cdot 10^6 \text{ km}}$$

or $v_T'^2 = \frac{g M_S}{a_T}$ donc

donc $E_m = -\frac{1}{2} m v_T'^2 (1-e)$

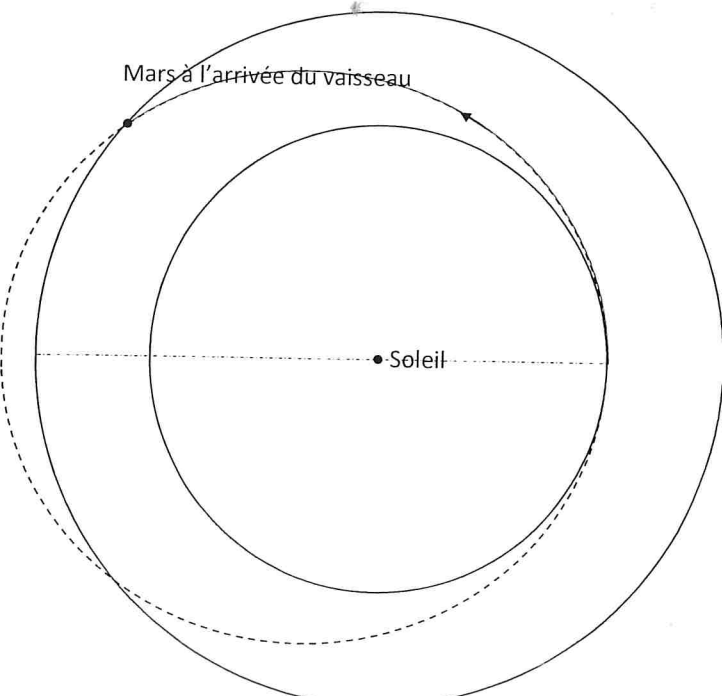
21. Au départ, $r=a_T$ donc:

$$E_m = \frac{1}{2} m v_T'^2 - \frac{g M_S m}{a_T}$$

Donc il faut:

$$-\frac{1}{2} m v_T'^2 (1-e) = \frac{1}{2} m v_T'^2 - m v_T'^2$$

$$\Rightarrow \boxed{v_T'^2 = v_T'^2 (1+e)}$$



$$22. \Delta V_T'' = V_T'' - V_T = V_T \times (\sqrt{1+e} - 1) = 0,12 V_T = 3,5 \text{ km/s}! \\ = \Delta V_T''$$

23. Au point de départ \vec{v} est orthoradiale donc

$$C = a_T \times V_T'' = a_T \cdot V_T \sqrt{1+e}$$

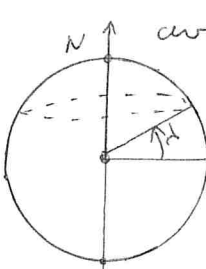
$$24. r^2 \frac{d\theta}{dt} = C \quad \text{donc} \quad C dt = r^2 d\theta = \frac{r^2 d\theta}{(1+e \cos\theta)^2}$$

Intégrons entre le point de départ ($t=0$ et $\theta=0$) et le point d'arrivée ($t=\Delta t'$ et $\theta = \frac{3\pi}{4}$):

$$C \int_0^{\Delta t'} dt = r^2 \int_0^{\frac{3\pi}{4}} \frac{d\theta}{(1+e \cos\theta)^2} \Rightarrow C \Delta t' = r^2 \cdot 2,15.$$

$$\text{Finalement } \Delta t' = \frac{a_T^2 (1+e)^2}{a_T V_T \sqrt{1+e}} \times 2,15 = \frac{a_T (1+e)^2}{V_T} \times 2,15 = \Delta t' \\ = 15,1 \cdot 10^6 \text{ s} = 175 \text{ j.}$$

$$25. \mathcal{E}_1 = \mathcal{E}_m(\text{orbite}) - \mathcal{E}_m(\text{sol})$$



avec $\mathcal{E}_m(\text{sol}) = -\frac{g M_T m}{R_T} + \frac{1}{2} m v_{\text{sol}}^2$ avec $v_{\text{sol}} = \frac{2\pi R_T \cos\theta}{T_T}$

et $\mathcal{E}_m(\text{orbite}) = -\frac{g M_T m}{2(R_T+h)}$ (cf. Q5)

$$\mathcal{E}_1 = -\frac{g M_T m}{2(R_T+h)} \left(\frac{1}{2(R_T+h)} - \frac{1}{R_T} \right) - \frac{1}{2} m \underbrace{\left(\frac{2\pi R_T \cos\theta}{T_T} \right)^2}_{\text{nigligerable}} \\ = 1,2 \cdot 10^{13} \text{ J.}$$

26. Sur l'orbite parabolique $\mathcal{E}_m = 0$. On en déduit

$$\mathcal{E}_2 = \mathcal{E}_{\text{parabolique}} - \mathcal{E}_m(\text{orbite circulaire}) = \frac{g M_T m}{2(R_T+h)} = \mathcal{E}_2 \\ = 1,2 \cdot 10^{13} \text{ J.}$$

27. Sur la trajectoire parabolique $v_\infty = 0$:

$$\mathcal{E}_m = 0 = -\frac{g M_T m}{r} + \frac{1}{2} m v^2$$

donc à l'infini : $0 = 0 + \frac{1}{2} m v_\infty^2 \Rightarrow \boxed{v_\infty = 0}$

28. Le bilan énergétique total est fini s'il faut se poser sur la lune avant de repartir de celle-ci.
L'intérêt peut être d'assembler les éléments sur la lune avant un décollage de l'ensemble depuis la surface de la lune car l'énergie E_1 ne peut pas être fournie par un lanceur actuel alors que depuis la lune l'énergie nécessaire est beaucoup plus faible (80 fois plus faible = rapport des masses M_T/M_L .)

29. Syst: { vaisseau + gaz éjecté }

Ref: héliocentrique considéré galiléen.

Forces: pas de forces extérieures prises en compte

$$\text{PFD: } \vec{P}_{\text{syst}} = \vec{c}_t = m(t) \vec{v}(t)$$

$$= (m(t) - Ddt) \vec{v}(t+dt) + Ddt(\vec{v} + \vec{v}_1)$$

en $t+dt$, la masse du vaisseau est $m - Ddt$ car la masse de gaz éjecté est Ddt . (avec une vitesse $\vec{v} + \vec{v}_1$ dans le référentiel héliocentrique).

$$\text{On développe avec un DL: } \vec{v}(t+dt) = \vec{v}(t) + \frac{d\vec{v}}{dt} dt$$

$$\Rightarrow m(t) \vec{v}(t) = m(t) \vec{v}(t) + m(t) \cdot \frac{d\vec{v}}{dt} dt - D \vec{v} dt - D \vec{v} dt \frac{d\vec{v}}{dt} dt + D \vec{v} dt + D \vec{v}_1 dt$$

Soit $\boxed{m(t) \frac{d\vec{v}}{dt} = -D \vec{v}_1} \quad (\text{cf. cours de spé}!)$

30. Soit une masse m_i éjectée en une durée I_{sp} : $D = \frac{m_i}{I_{sp}}$
La poussée fournie est égale au poids: $D \vec{v}_1 = m_i \vec{g}$

$$\text{D'où } I_{sp} = \frac{m_i}{D} = \frac{m_i}{m_i g / v_1} = \boxed{\frac{v_1}{g} = I_{sp}} \Rightarrow \boxed{v_1 = 8,1 \text{ km/s}}$$

R: une analyse dimensionnelle conduit au même résultat!

31. On a: $m \frac{dv}{dt} = -D \vec{v}_1$ donc $m \frac{\Delta V_T}{\Delta t} = \frac{m_c}{\Delta t} v_1$ 8.

car sur la durée de la poussée m ne varie pas notablement.
D'où $\boxed{m_c = m \frac{\Delta V_T}{v_1} = 129 \text{ tonnes}}.$

- * 129 tonnes n'est pas négligeable devant 360 tonnes!
⇒ l'hypothèse est fausse!

On recommence: $m \frac{dv}{dt} = -D v_1 = -\frac{dm}{dt} v_1$

$$\Rightarrow \boxed{dv = -v_1 \frac{dm}{m}} \Rightarrow \int_0^{\Delta V_T} dv = \int_{m_0}^{m_0 - m_c} -v_1 \frac{dm}{m} = -v_1 \ln \frac{m_0 - m_c}{m_0}$$

Finalement: $\Delta V_T = +v_1 \ln \left(\frac{m_0}{m_0 - m_c} \right)$
D'où $m_c = (m_0 - m_c) e^{\Delta V_T / v_1} \Rightarrow \boxed{m_c = m_0 (1 - e^{-\Delta V_T / v_1})}$
 $= 108 \text{ tonnes.}$

R: le calcul initial donne le bon ordre de grandeur! (erreur $\sim 20\%$)

Cela correspond à un volume: $V_c = \frac{m_c}{\rho_{H_2}} = 1520 \text{ m}^3$

Or chaque réservoir fait approximativement 20m de long pour un diamètre de 10m: $V = \pi R^2 L = 1500 \text{ m}^3$
C'est donc cohérent! (le 2^e réservoir est pour le retour!).

32. $\Delta V_T''$ remplace $\Delta V_T \Rightarrow \boxed{m_c' = 126 \text{ tonnes.}} \Rightarrow +20\% !$

II Python

9

1. Il suffit de bien définir $F_1(r, t)$:

```
6  def F1(r, t):
7      return -r**2/(1+r)
```

2a. Système: sonde

Réf: géocentrique considéré galiléen

$$\text{Force: } \vec{F} = -\frac{GM_T m}{r^2} \hat{r}$$

PFD sur une trajectoire rectiligne ($C = r\dot{\theta} = 0$):

$$m\ddot{r} = -\frac{GM_T m}{r^2} \Rightarrow \boxed{\ddot{r} = -\frac{GM_T}{r^2}}$$

On obtient une éq. diff du 2^e ordre que l'on décompose en 2 éq. diff du 1^e ordre:

$$\begin{cases} \ddot{r} = v \\ \dot{v} = -\frac{GM_T}{r^2} \end{cases}$$

2b.

```
18 def F2(z, t):
19     (r, v) = z
20     return (v, -GM_T/r**2)
```

et 24. $Z = \text{odeint}(F_2, (R_T + 200e3, 4e3), T)$

2.c. $r_{max} = 7560 \text{ km}$ donc $\boxed{h_{max} = 1190 \text{ km.}}$

3.a. PFD: $\begin{cases} m(\ddot{r} - r\dot{\theta}^2) = -\frac{GM_T}{r^2} \\ m(2\dot{r}\dot{\theta} + r\ddot{\theta}) = 0 \end{cases} \Rightarrow \begin{cases} \ddot{r} - r\dot{\theta}^2 = -\frac{GM_T}{r^2} \\ \dot{r}\dot{\theta} + r\ddot{\theta} = 0 \end{cases}$

R: on peut introduire $C = r^2\dot{\theta}$ à la place de l'éq② (en effet $2\dot{r}\dot{\theta} + r\ddot{\theta} = \frac{d}{dt} \left[\frac{1}{2} r^2 \dot{\theta} \right]$).

3.b. Introduisons: r et $v_r = \frac{dr}{dt}$ ainsi que $\dot{\theta}$ et $w = \frac{d\dot{\theta}}{dt}$.

$$\Rightarrow \begin{cases} \dot{r} = v_r \\ \ddot{r} = v_r' = r \cdot w \cdot 2 - \frac{GM_T}{r^2} \\ \dot{\theta} = w \\ \ddot{\theta} = \dot{w} = -v_r \cdot w / r \end{cases} \quad (\ddot{\theta} = \ddot{w} = -\frac{\ddot{r}}{r})$$

3.c.

```
28 def F3(z, t):
29     (r, theta, v_r, w) = z
30     return (v_r, w, r * w * 2 - GM_T / r**2, -v_r * w / r)
```

et 33. $Z = \text{odeint}(F_3, (R_T + 200e3, 0, 0, 1.37e-3), T)$

3d. $2a = \frac{6570 + 13000}{r_0} \approx 20000 \text{ km} \Rightarrow \boxed{a \approx 10000 \text{ km}}$

4.a. Mêmes équations avec \vec{F}_{frot} en plus pour $r < R_T + 250e3$.

$$\boxed{\begin{aligned}\ddot{r} - r\ddot{\theta}^2 &= - \frac{GM_T}{r^2} \\ \dot{r}\dot{\theta} + r\ddot{\theta} &= - \alpha r\dot{\theta}/m.\end{aligned}} \quad \rightarrow \text{relax } \ddot{\theta} \text{ (car } \dot{r} \ll r\dot{\theta})$$

4.b

$$\boxed{\begin{aligned}\dot{r} &= v_r \\ \ddot{r} &= r\omega^2 - GM_T/r^2 \\ \dot{\theta} &= \omega \\ \ddot{\theta} &= - \frac{v_r}{r}\omega + F_{\text{frot}}(r, r\omega)/rm\end{aligned}}$$

4.c

```
45 def F4(z, t):
46     (r, theta, v_r, omega) = z
47     return (v_r, omega, r*omega**2 - GM_T/r**2, -v_r*omega + F_frot(r, omega)/m/r)
50 Z = adoint(F4, (R_T + 200.e3, 0, 0, 1.37e-3), T)
```

4.d. Réponse

A chaque passage au périhélie, l'atmosphère agit comme un moteur qui freine la sonde : son énergie mécanique diminue donc le demi-grand axe diminue donc l'apogée est moins éloignée \Rightarrow l'orbite devient circulaire petit à petit !

```

from math import *
import numpy as np
import matplotlib.pyplot as plt
from scipy.integrate import odeint

## question 1
def F1(x,t):
    return -x**2/(1+x)

plt.figure(1)
T = np.arange(0,7,0.01) # création de T
X = odeint(F1,1,T)
plt.plot(T,X,'-')
plt.grid('on')
plt.show()

## question 2
G = 6.67e-11 # en USI
R_T = 6370e3 # en m
M_T = 6e24 # en kg

def F2(z,t):
    (r, v) = z
    return (v, -G*M_T/r**2)

plt.figure(2)
T = np.arange(0,800,0.1) # création de T
Z = odeint(F2,(R_T+200e3,4000),T)
plt.plot(T,Z[:,0],'-')
plt.grid('on')
plt.show()

## question 3
def F3(z,t):
    (r,0,v_r,w) = z # 0 = théta
    return (v_r,w,-G*M_T/r**2+r*w**2,-2*v_r*w/r)

plt.figure(3)
T = np.arange(0,10000,1) # création de T
Z = odeint(F3,(R_T+200e3,0,0,1.37e-3),T)
plt.polar(Z[:,1],Z[:,0],'-')
plt.grid('on')
plt.show()

## question 4
m = 500 # en kg

def F_frot(r,v):
    alpha = 4e-3
    if r > R_T+250e3:
        return 0
    return -alpha*v

def F4(z,t):
    (r,0,dr,w) = z # 0 = théta
    return (dr,w,-G*M_T/r**2+r*w**2,-2*dr*w/r+F_frot(r,r*w)/m/r)

plt.figure(4)
T = np.arange(0,40000,1) # création de T
Z = odeint(F4,(R_T+200e-3,0,0,1.37e-3),T)
plt.polar(Z[:,1],Z[:,0],'-')
plt.grid('on')
plt.show()

```